

Fig. 1.173. Spatial distribution of maximum annual cumulative duration of heat waves/warm spells detected based on 35.0 °C threshold

Distribuția spațială a duratei cumulate maxime anuale a valorilor de căldură/periodelor calde detectate pe baza pragului de 35,0 °C

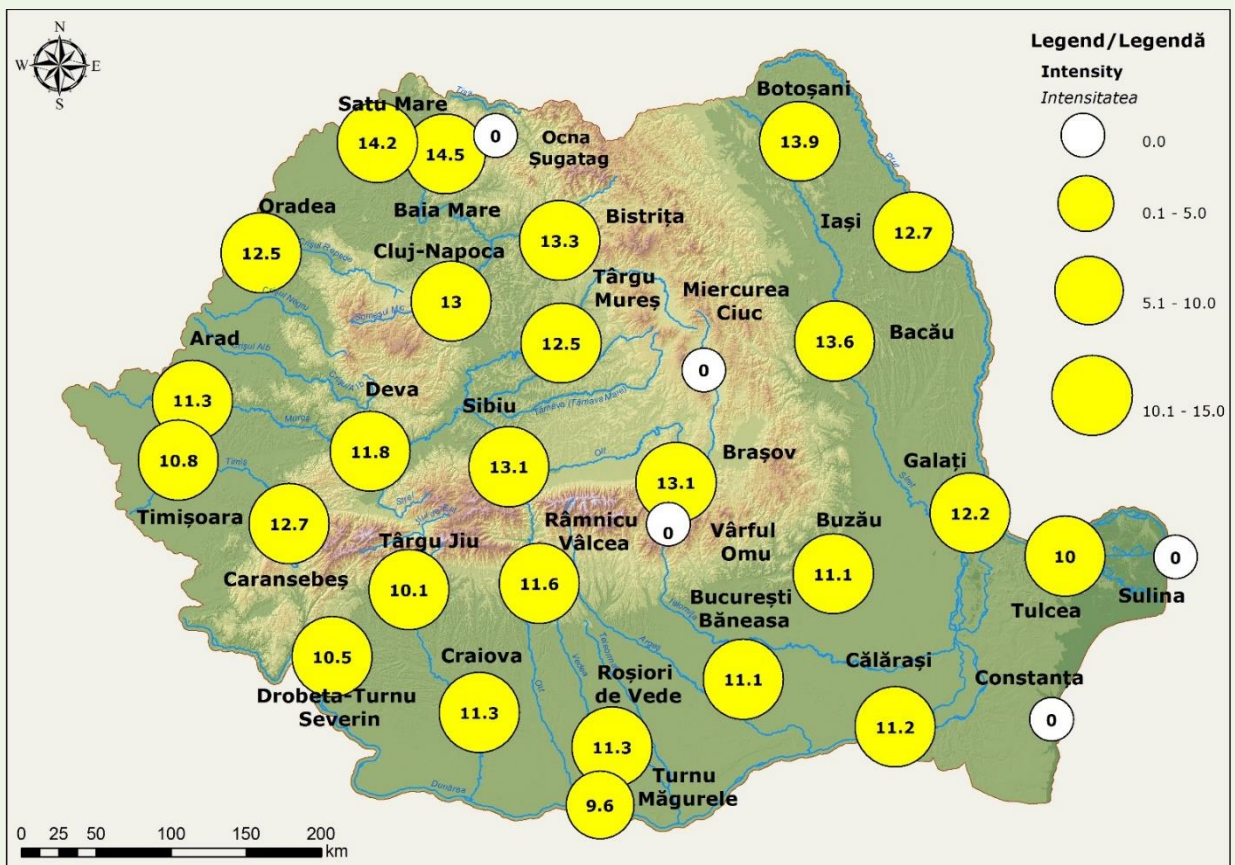


Fig. 1.174. Spatial distribution of maximum annual intensity of heat waves/warm spells detected based on 35.0 °C threshold

Distribuția spațială a intensității maxime anuale a valorilor de căldură/periodelor calde detectate pe baza pragului de 35,0 °C



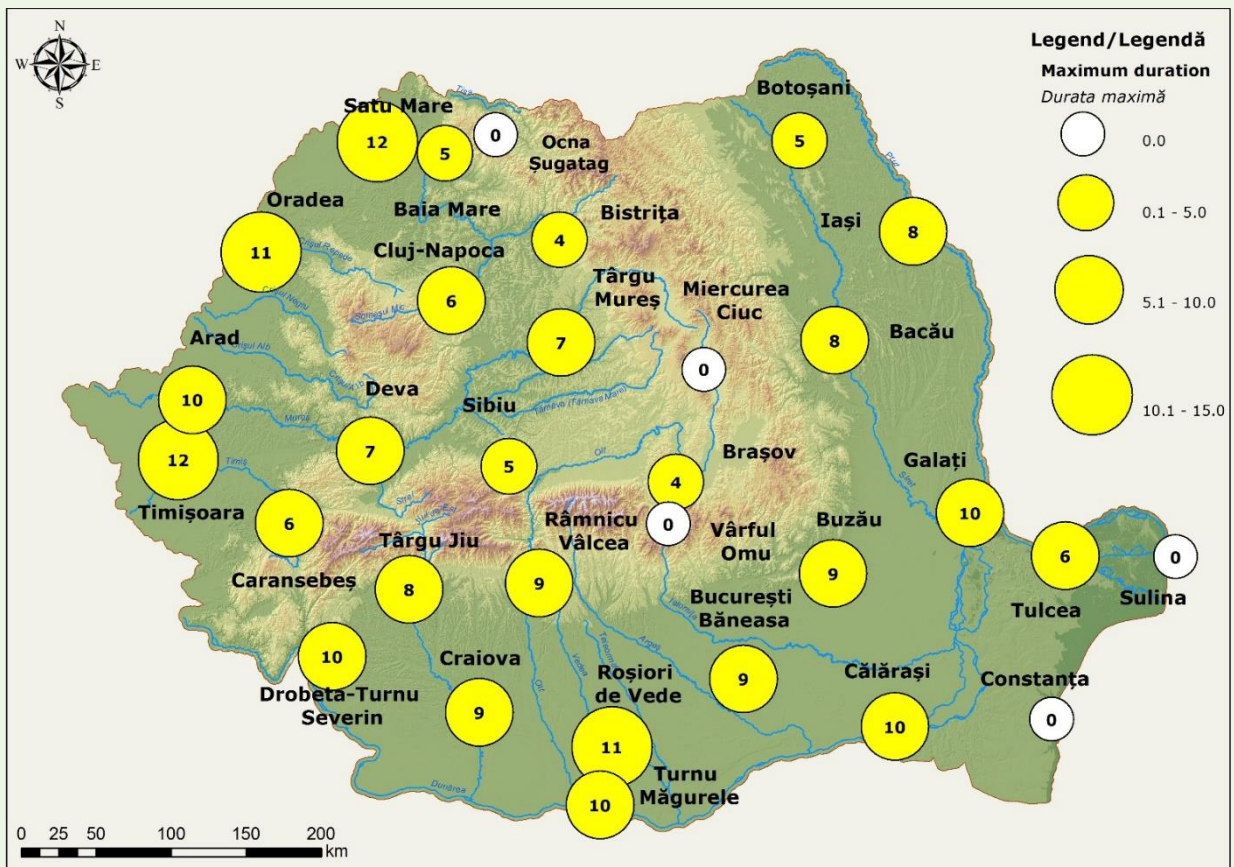


Fig. 1.175. Spatial distribution of maximum annual duration of heat waves/warm spells detected based on 35.0 °C threshold  
Distribuția spațială a duratei maxime anuale a valurilor de căldură/periodelor calde detectate pe baza pragului de 35,0 °C

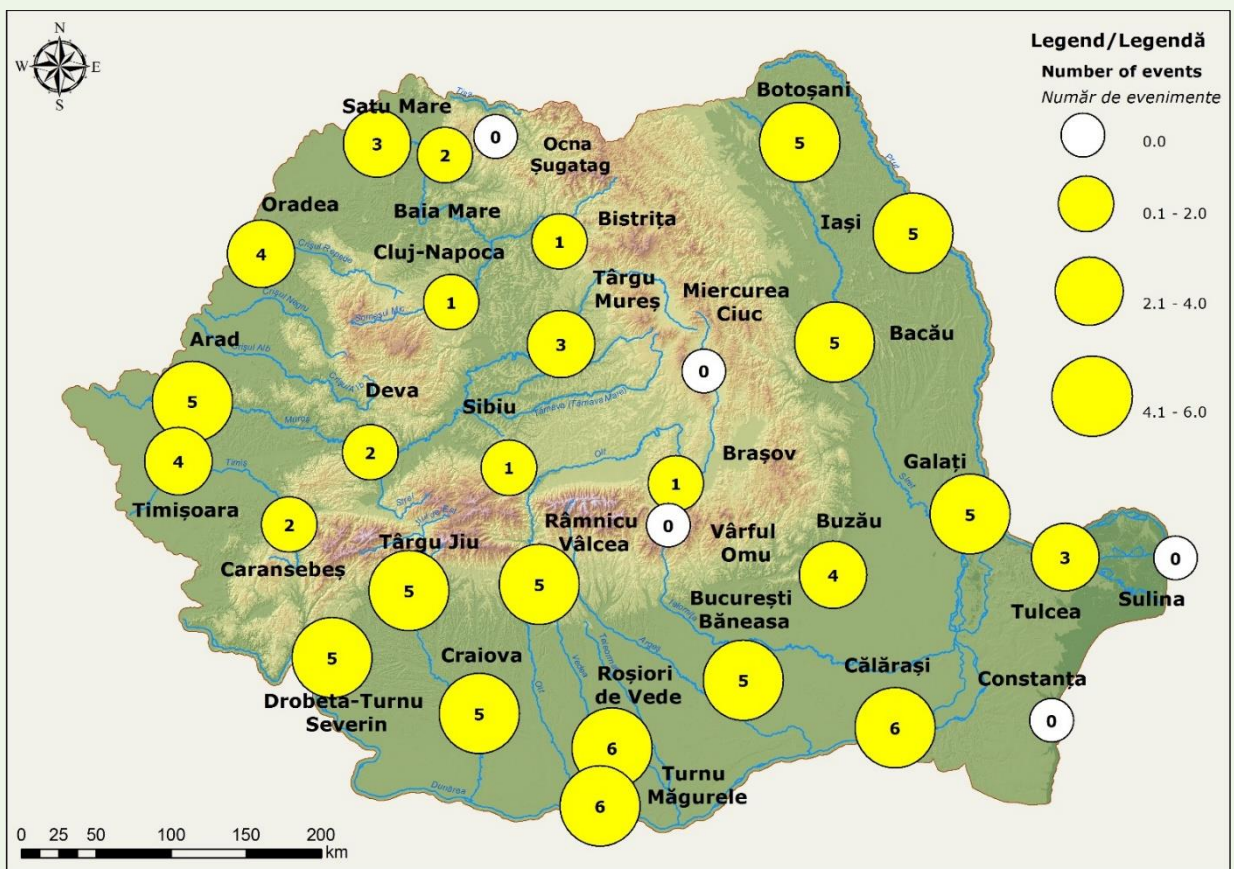


Fig. 1.176. Spatial distribution of maximum annual number of heat waves/warm spells detected based on 35.0 °C threshold  
Distribuția spațială a numărului maxim anual al valurilor de căldură/periodelor calde detectate pe baza pragului de 35,0 °C



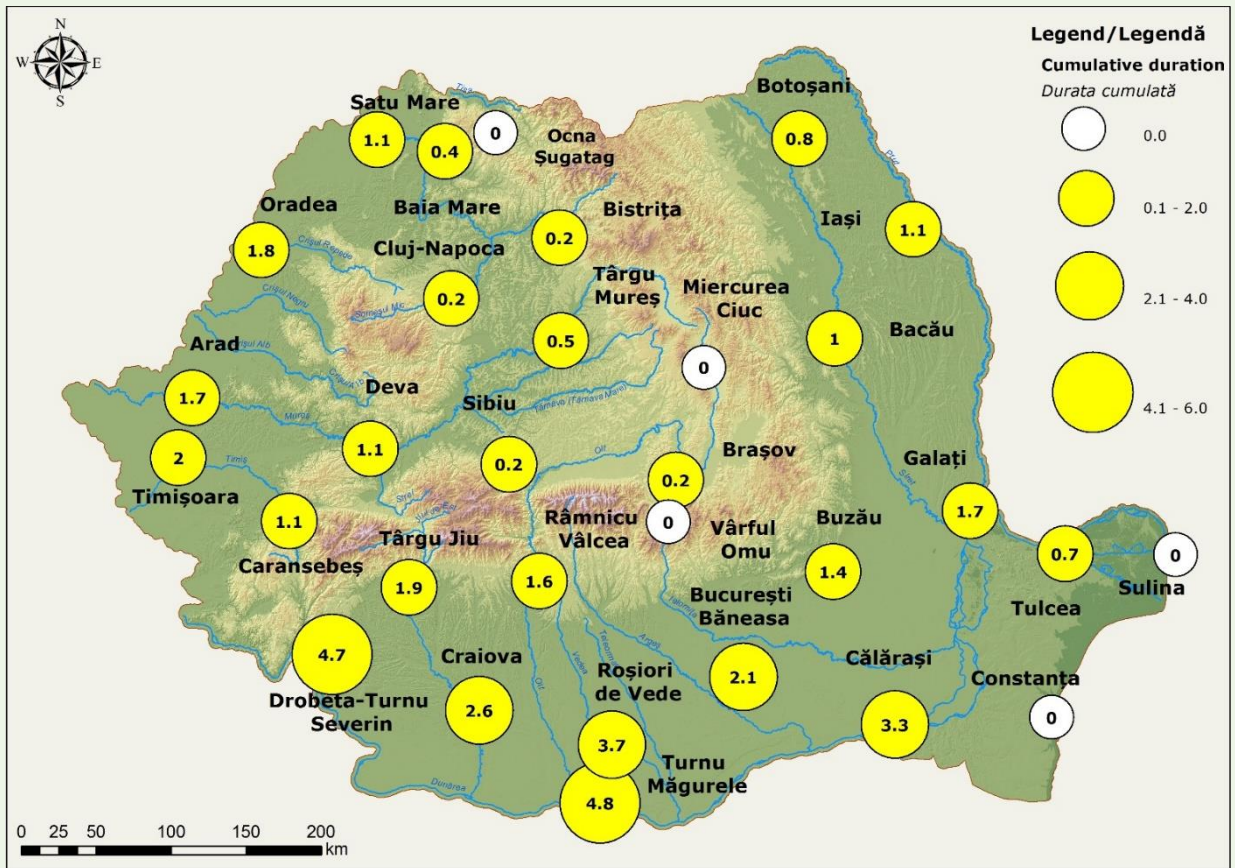


Fig. 1.177. Spatial distribution of mean annual cumulative duration of heat waves/warm spells detected based on 35.0 °C threshold

Distribuția spațială a duratei cumulate medii anuale a valorilor de căldură/periodelor calde detectate pe baza pragului de 35,0 °C

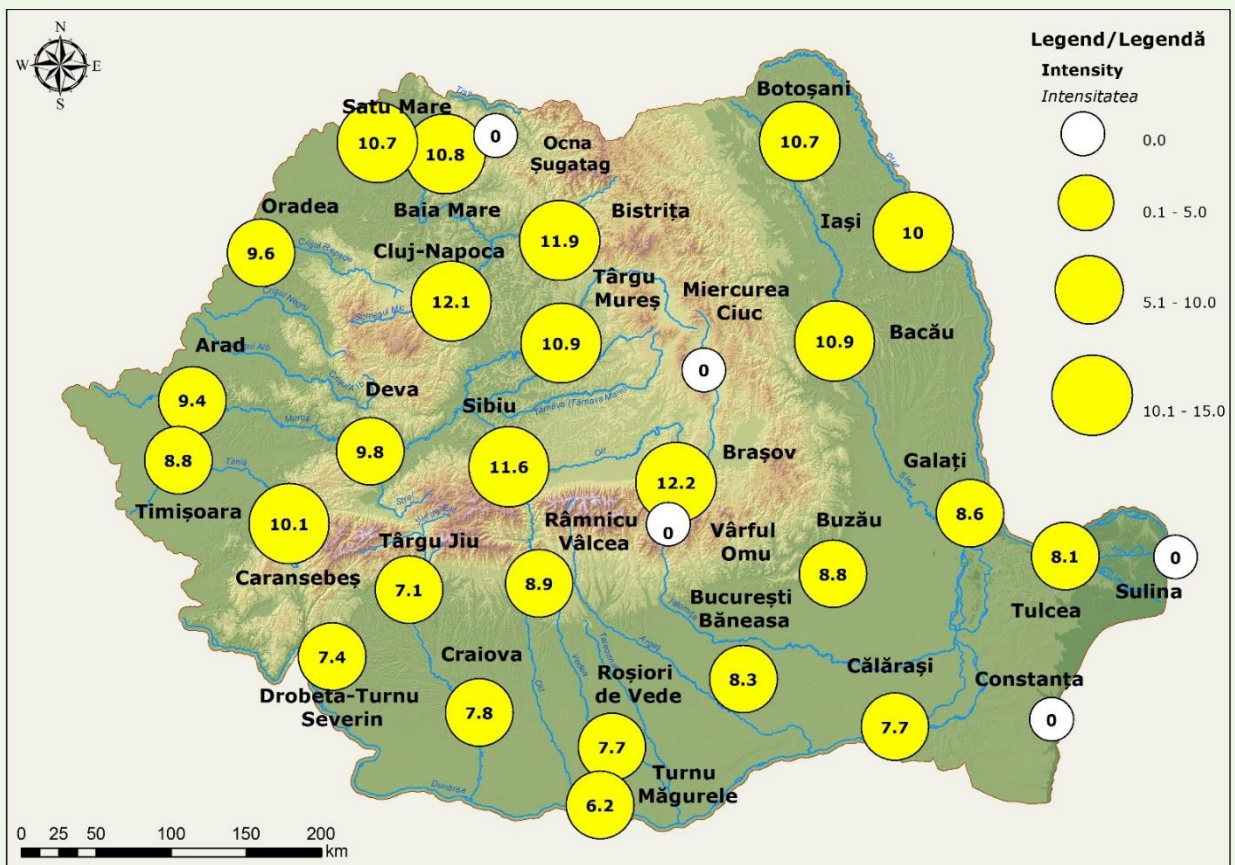


Fig. 1.178. Spatial distribution of mean annual intensity of heat waves/warm spells detected based on 35.0 °C threshold

Distribuția spațială a intensității medii anuale a valorilor de căldură/periodelor calde detectate pe baza pragului de 35,0 °C



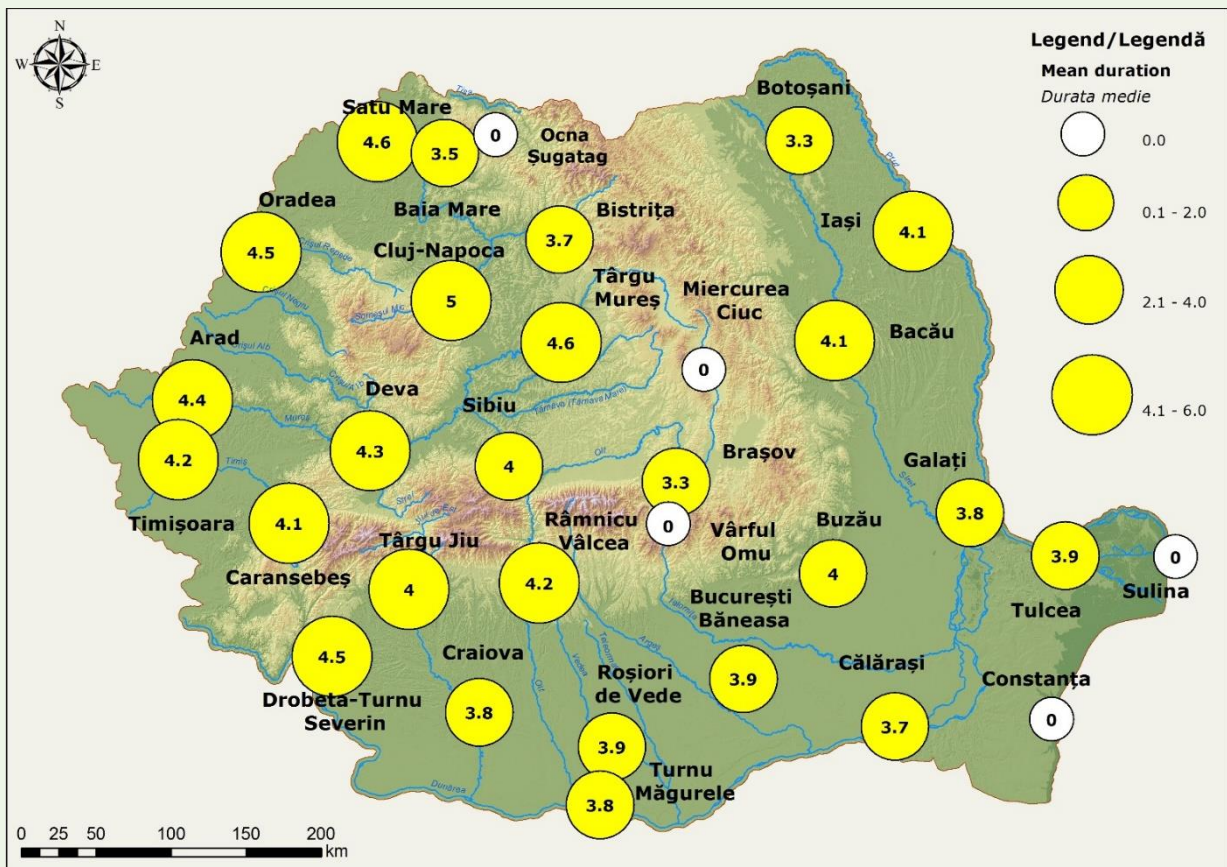


Fig. 1.179. Spatial distribution of mean annual duration of heat waves/warm spells detected based on 35.0 °C threshold  
 Distribuția spațială a duratei medii anuale a valurilor de căldură/perioadelor calde detectate pe baza pragului de 35,0 °C

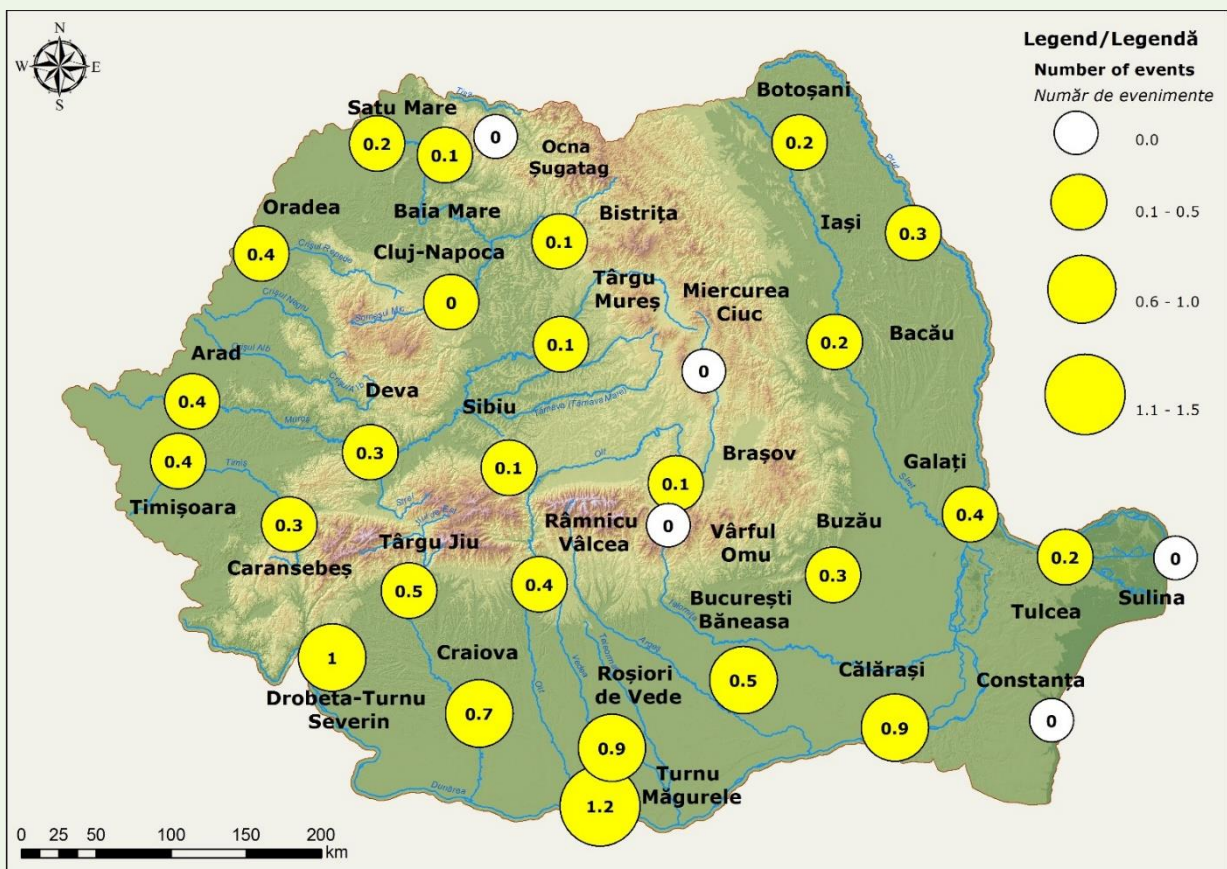


Fig. 1.180. Spatial distribution of mean annual number of heat waves/warm spells detected based on 35.0 °C threshold  
 Distribuția spațială a numărului mediu anual al valurilor de căldură/perioadelor calde detectate pe baza pragului de 35,0 °C